

UNIVERSIDADE FEDERAL DE VIÇOSA – UFV  
CENTRO DE CIÊNCIAS EXATAS E TECNOLÓGICAS – CCE  
DEPARTAMENTO DE ENGENHARIA ELÉTRICA - DEL

# **Sistemas de Controle II**

## **ELT331**

### **AULA 24 – Implementação de Controlador PID Digital**

**Prof. Tarcísio Pizziolo**

## 24. Controlador PID Discreto



Proporcional:  $m(t) = K e(t)$

Integral:  $m(t) = \frac{K}{T_I} \int_0^t e(\eta) d\eta$  Onde:  $\frac{K}{T_i} = K_i$

Derivativo:  $m(t) = K T_D \dot{e}(t)$  Onde:  $K T_D = K_D$

↪ Aproximações

proporcional:  $m(k) = K e(k)$

integral:  $\frac{m(k) - m(k-1)}{T} = \frac{K}{T_I} e(k) \Rightarrow m(k) = m(k-1) + \frac{K T}{T_I} e(k)$

derivativo:  $m(k) = \frac{K T_D}{T} (e(k) - e(k-1))$

## 24. Controlador PID Digital

Considerando-se a transformada- $\mathcal{Z}$ , obtém-se para o controle integral

$$\mathbf{M}(z) = z^{-1} \mathbf{M}(z) + \frac{KT}{T_I} E(z) = \frac{z}{z-1} \frac{KT}{T_I} E(z)$$

para o controle derivativo

$$\mathbf{M}(z) = \frac{KT_D}{T} (E(z) - z^{-1}E(z)) = \frac{KT_D}{T} \frac{z-1}{z} E(z)$$

e para o proporcional  $\mathbf{M}(z) = KE(z)$

Associando-se os três termos obtém-se a FT discreta do PID

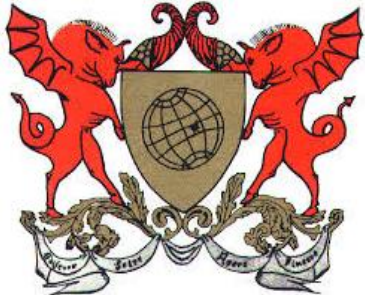
$$D(z) = \frac{\mathbf{M}(z)}{E(z)} = K \left( 1 + \frac{T}{T_I} \frac{z}{z-1} + \frac{T_D}{T} \frac{z-1}{z} \right)$$

# 24. Controlador PID Digital

$$\begin{aligned}
 D(z)_{\text{PID}} &= \frac{M(z)}{E(z)} = K \left[ 1 + \frac{T}{T_i} \frac{z}{(z-1)} + \frac{T_D}{T} \frac{(z-1)}{z} \right] \Rightarrow \frac{M(z)}{E(z)} = K \left[ \frac{z(z-1) + \frac{T}{T_i} z^2 + \frac{T_D}{T} (z-1)^2}{z(z-1)} \right] \Rightarrow \\
 \Rightarrow \frac{M(z)}{E(z)} &= K \left[ \frac{(z^2 - z) + \frac{T}{T_i} z^2 + \frac{T_D}{T} (z^2 - 2z + 1)}{z(z-1)} \right] \Rightarrow \frac{M(z)}{E(z)} = K \left[ \frac{\left(1 + \frac{T}{T_i} + \frac{T_D}{T}\right) z^2 - \left(1 + \frac{2T_D}{T}\right) z + \frac{T_D}{T}}{z(z-1)} \right] \Rightarrow \\
 \Rightarrow z(z-1) \frac{M(z)}{E(z)} &= K \left[ \left(1 + \frac{T}{T_i} + \frac{T_D}{T}\right) z^2 - \left(1 + \frac{2T_D}{T}\right) z + \frac{T_D}{T} \right] \Rightarrow \\
 \Rightarrow \frac{z(z-1)z}{z} M(z) &= K \left[ \left(1 + \frac{T}{T_i} + \frac{T_D}{T}\right) z^2 - \left(1 + \frac{2T_D}{T}\right) z + \frac{T_D}{T} \right] E(z) \Rightarrow \\
 \Rightarrow z^2(1 - z^{-1})M(z) &= K \left[ \left(1 + \frac{T}{T_i} + \frac{T_D}{T}\right) z^2 - \left(1 + \frac{2T_D}{T}\right) z + \frac{T_D}{T} \right] E(z) \Rightarrow \\
 \Rightarrow (1 - z^{-1})M(z) &= \frac{K \left[ \left(1 + \frac{T}{T_i} + \frac{T_D}{T}\right) z^2 - \left(1 + \frac{2T_D}{T}\right) z + \frac{T_D}{T} \right]}{z^2} E(z) \Rightarrow \\
 \Rightarrow (1 - z^{-1})M(z) &= K \left[ \left(1 + \frac{T}{T_i} + \frac{T_D}{T}\right) - \left(1 + \frac{2T_D}{T}\right) z^{-1} + \frac{T_D}{T} z^{-2} \right] E(z) \Rightarrow \\
 \Rightarrow M(z) &= z^{-1}M(z) + K \left[ \left(1 + \frac{T}{T_i} + \frac{T_D}{T}\right) - \left(1 + \frac{2T_D}{T}\right) z^{-1} + \frac{T_D}{T} z^{-2} \right] E(z)
 \end{aligned}$$

Aplicando a  $Z^{-1}\{\}$  obtemos a Lei de Controle do PID Digital com sendo:

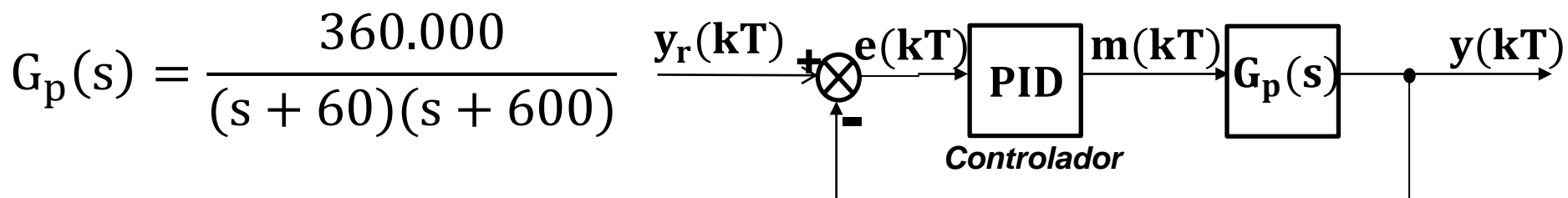
$$m(kT) = m[(k-1)T] + \underbrace{K \left(1 + \frac{T}{T_i} + \frac{T_D}{T}\right)}_A e(kT) - \underbrace{K \left(1 + \frac{2T_D}{T}\right)}_B e[(k-1)T] + \underbrace{K \frac{T_D}{T}}_C e[(k-2)T]$$



## 24 - Exemplo



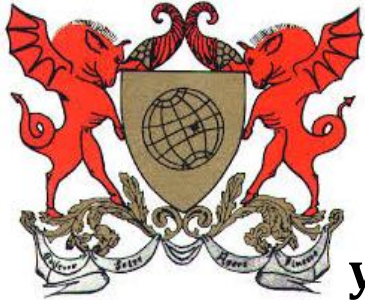
Seja a Função de Transferência  $G_p(s)$  a seguir:



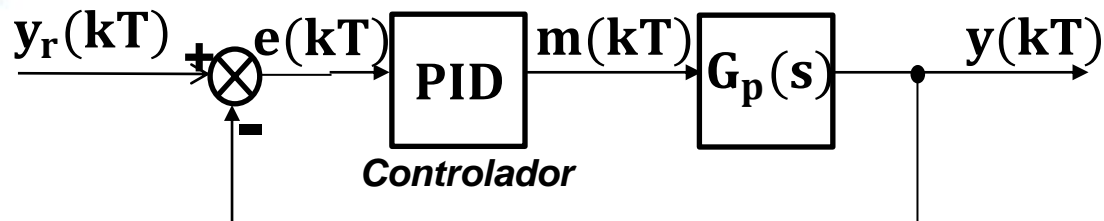
Um controlador PID no tempo contínuo com  $K_p = 5$ ,  $T_d = 0,8 \text{ ms}$  e  $T_i = 3 \text{ ms}$  fornece um desempenho satisfatório.

Utilizando  $T = 116,4 \text{ } \mu\text{s}$ , determine a Lei de Controle para esse controlador PID no tempo discreto.

$$m(k) = m(k-1) + K_p \left[ \left( 1 + \frac{T}{T_i} + \frac{T_d}{T} \right) e(k) - \left( 1 + \frac{2T_d}{T} \right) e(k-1) + \frac{T_d}{T} e(k-2) \right]$$



## 24 - Exemplo



$$G_p(s) = \frac{360.000}{(s + 60)(s + 600)} \Rightarrow G_p(z) = \frac{0,002377z + 0,002317}{z^2 - 1,926z + 0,926}$$

A partir de  $G_p(z)$  determina-se a Equação de Diferenças  $y(k)$ :

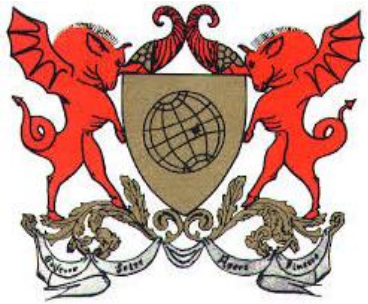
$$y(k) = 1,926y(k-1) - 0,9261y(k-2) + 0,002377m(k-1) + 0,002317m(k-2)$$

Considerando um  $y_r$  como referência, determina-se o erro  $e(k)$  sendo  $e(k) = y_r - y(k)$ .

Em seguida calcula-se  $m(k)$  com o  $e(k)$ :

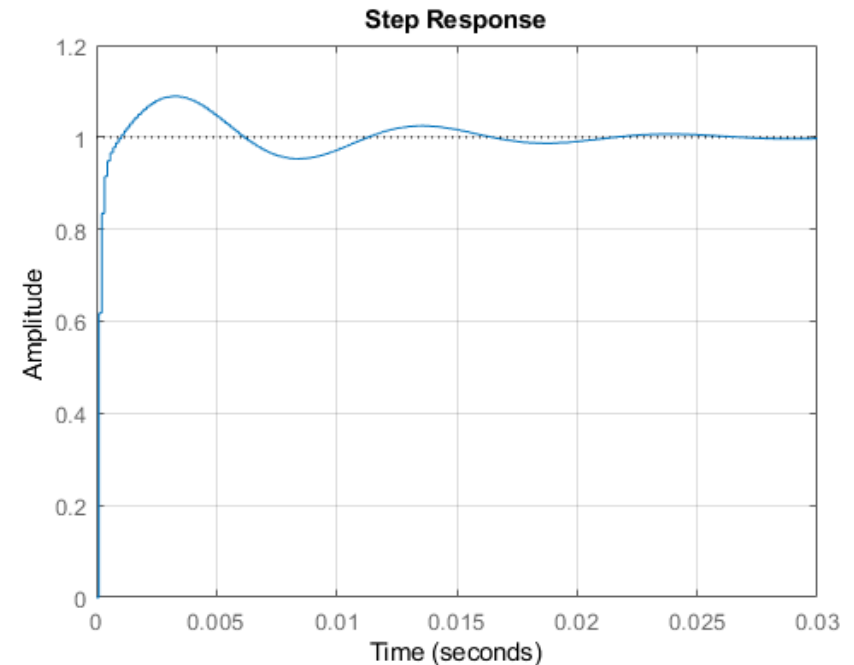
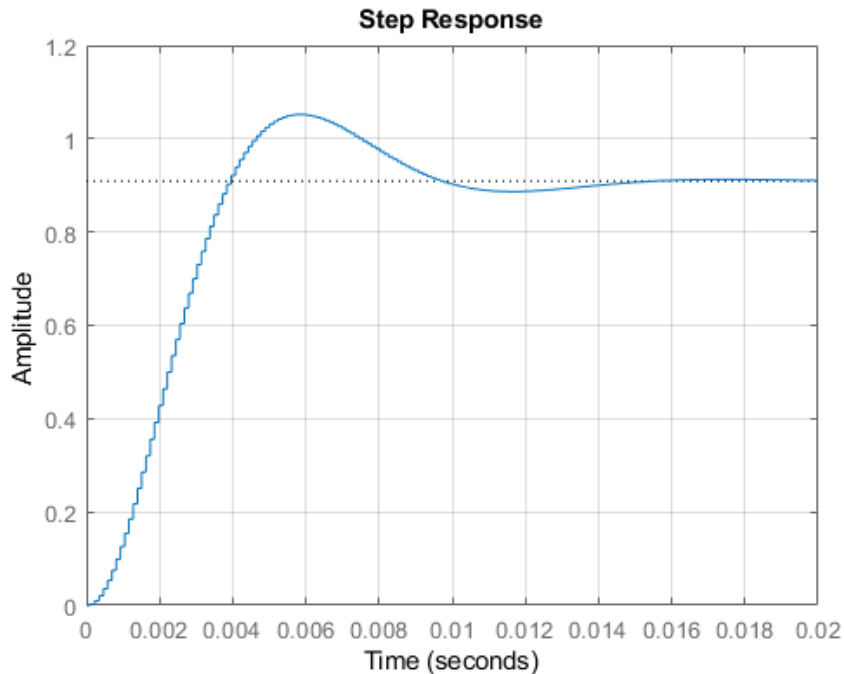
$$m(k) = m(k-1) + 39,56e(k) - 73,73e(k-1) + 34,36e(k-2)$$

Aplica-se  $m(k)$  em  $y(k)$  determinando os valores da saída do sistema controlado pelo PID Digital.



## 24 - Exemplo

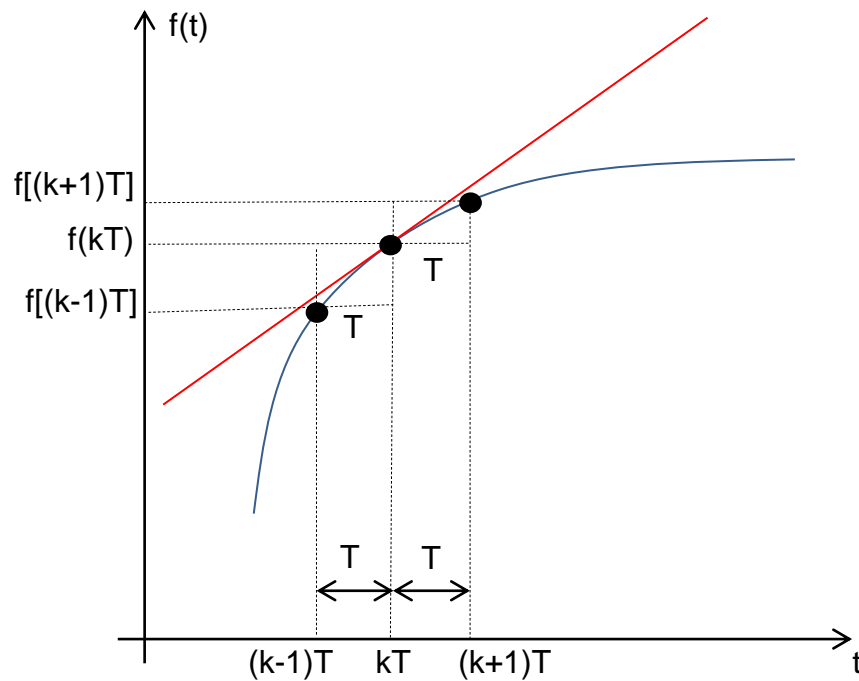
Resposta ao Degrau Unitário do sistema discreto com o controlador  $PID(z)$  em série com  $G(z)$ .



O sistema controlado tem erro praticamente zero enquanto sem o controlador o erro é de 10%.

# 24.1. Métodos de Integração para o Controlador PID

O termo integrativo pode ser aproximado segundo métodos de integração numérica já conhecidos: integração trapezoidal, integração forward e integração backward, representadas pela figura.



$$\frac{df(t)}{dt} = \lim_{T \rightarrow 0} \left[ \frac{f(t+T) - f(t)}{T} \right]$$

**Backward:**

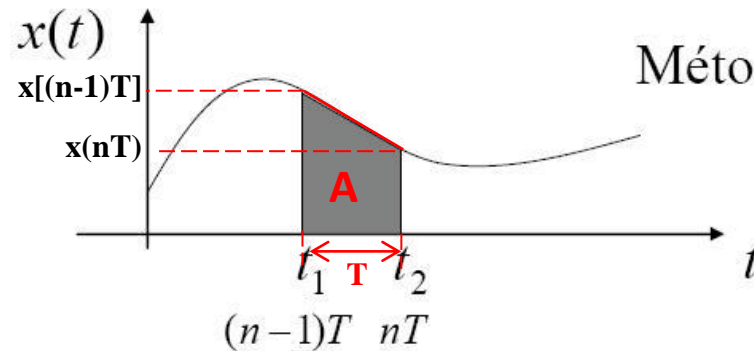
$$\frac{df(t)}{dt} \approx \left[ \frac{f(kT) - f[(k-1)T]}{T} \right]$$

**Forward:**

$$\frac{df(t)}{dt} \approx \left[ \frac{f[(k+1)T] - f(kT)}{T} \right]$$



## 24.1.1. Métodos de Integração Trapezoidal para o Controlador PID



Método dos trapézios

$$\int_{t_1}^{t_2} x(t) dt = y(t_2) - y(t_1)$$

$$A_{\text{sob a curva}} = \int_{(n-1)T}^{nT} x(t) dt = y(nT) - y[(n-1)T]; \quad A_{\text{Trapézio}} = \left\{ \frac{[x(n-1)T] + x(nT)}{2} \right\} \times T$$

Para um valor muito pequeno de **T** pode-se igualar as áreas.

$$y(nT) - y[(n-1)T] = \left\{ \frac{[x(n-1)T] + x(nT)}{2} \right\} \times T \Rightarrow Y(z) - z^{-1}Y(z) = \frac{T}{2} [z^{-1}X(z) + X(z)]$$

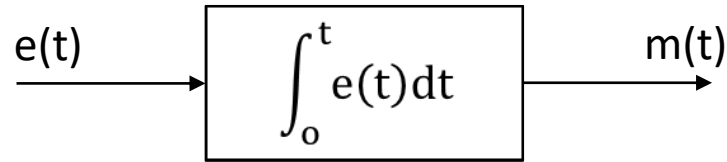
Considerando  $M(z)$  a saída da integração e  $E(z)$  a entrada:

$$M(z) - z^{-1}M(z) = \frac{T}{2} [z^{-1}E(z) + E(z)] \Rightarrow \frac{M(z)}{E(z)} = \frac{T}{2} \frac{(z+1)}{(z-1)}$$

Aplicando uma constante  $K_i$  na ação de controle Integral:

$$G_i(z) = K_i \frac{T}{2} \frac{(z+1)}{(z-1)}$$

## 24.1.2. Métodos de Integração Backward para o Controlador PID



$$m(t) = \int e(t) dt \Rightarrow \frac{dm(t)}{dt} = \frac{d}{dt} \left[ \int e(t) dt \right] \Rightarrow \boxed{\frac{dm(t)}{dt} = e(t)}$$

Backward:

$$\frac{dm(t)}{dt} \approx \frac{m(kT) - m[(k-1)T]}{T} = e(t) \Rightarrow m(kT) - m[(k-1)T] = Te(t)$$

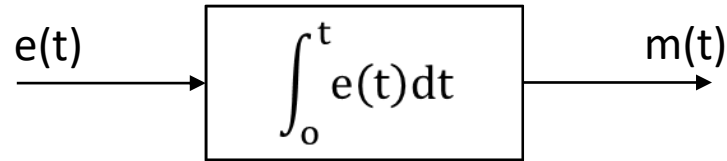
Aplicando a Z{.}:

$$\begin{aligned} M(z) - z^{-1}M(z) &= TE(z) \Rightarrow M(z)(1 - z^{-1}) = TE(z) \Rightarrow \\ \frac{M(z)}{E(z)} &= \frac{T}{(1 - z^{-1})} \Rightarrow \frac{M(z)}{E(z)} = \frac{Tz}{(z - 1)} \end{aligned}$$

Aplicando uma constante  $K_i$  na ação de controle Integral:

$$\boxed{G_i(z) = K_i \frac{Tz}{(z - 1)}}$$

## 24.1.3. Métodos de Integração Forward para o Controlador PID



$$m(t) = \int e(t) dt \Rightarrow \frac{dm(t)}{dt} = \frac{d}{dt} \left[ \int e(t) dt \right] \Rightarrow \boxed{\frac{dm(t)}{dt} = e(t)}$$

Forward:

$$\frac{dm(t)}{dt} \approx \frac{m[(k+1)T] - m(kT)}{T} = e(t) \Rightarrow m[(k+1)T] - m(kT) = Te(t)$$

Aplicando a Z{.}:

$$zM(z) - M(z) = TE(z) \Rightarrow M(z)(z-1) = TE(z) \Rightarrow \frac{M(z)}{E(z)} = \frac{T}{(z-1)}$$

Aplicando uma constante  $K_i$  na ação de controle Integral:

$$\boxed{G_i(z) = K_i \frac{T}{(z-1)}}$$

## 24.1.4. Métodos de Integração para o Controlador PID

No caso da integração trapezoidal a representação do controlador digital integrativo é:

$$G_i(z) = K_i \frac{T}{2} \left[ \frac{z+1}{z-1} \right]$$

No caso da integração backward a representação do controlador digital integrativo é:

$$G_i(z) = K_i \left[ \frac{Tz}{z-1} \right]$$

No caso da integração forward a representação do controlador digital integrativo é:

$$G_i(z) = K_i \left[ \frac{T}{z-1} \right]$$

## 24.1.5. Métodos de Integração para o Controlador PID

Usando-se as aproximações propostas pode-se apresentar três PID discretos possíveis para implementação na forma de equação a diferenças:

Integração trapezoidal:

$$G_c(z) = \frac{\left(K_P + \frac{TK_I}{2} + \frac{K_D}{T}\right)z^2 + \left(\frac{TK_I}{2} - K_P - \frac{2K_D}{T}\right)z + \frac{K_D}{T}}{z(z-1)}$$

Integração forward:

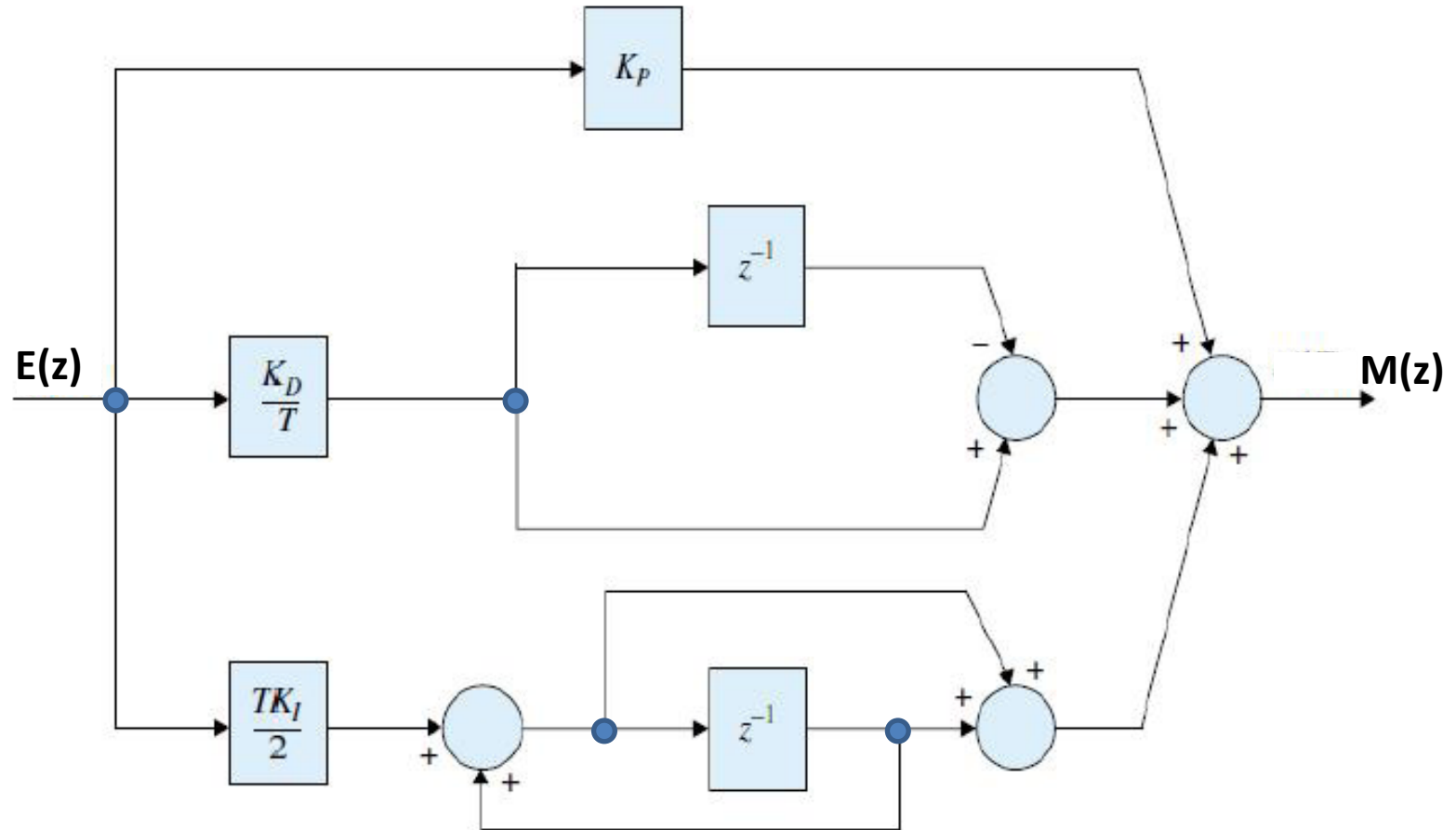
$$G_c(z) = \frac{\left(K_P + \frac{K_D}{T} + TK_I\right)z^2 - \left(K_P + \frac{2K_D}{T}\right)z + \frac{K_D}{T}}{z(z-1)}$$

Integração backward:

$$G_c(z) = \frac{\left(K_P + \frac{K_D}{T}\right)z^2 + \left(TK_I - K_P - \frac{2K_D}{T}\right)z + \frac{K_D}{T}}{z(z-1)}$$

## 24.1.6. Diagrama de Blocos de Controlador PID

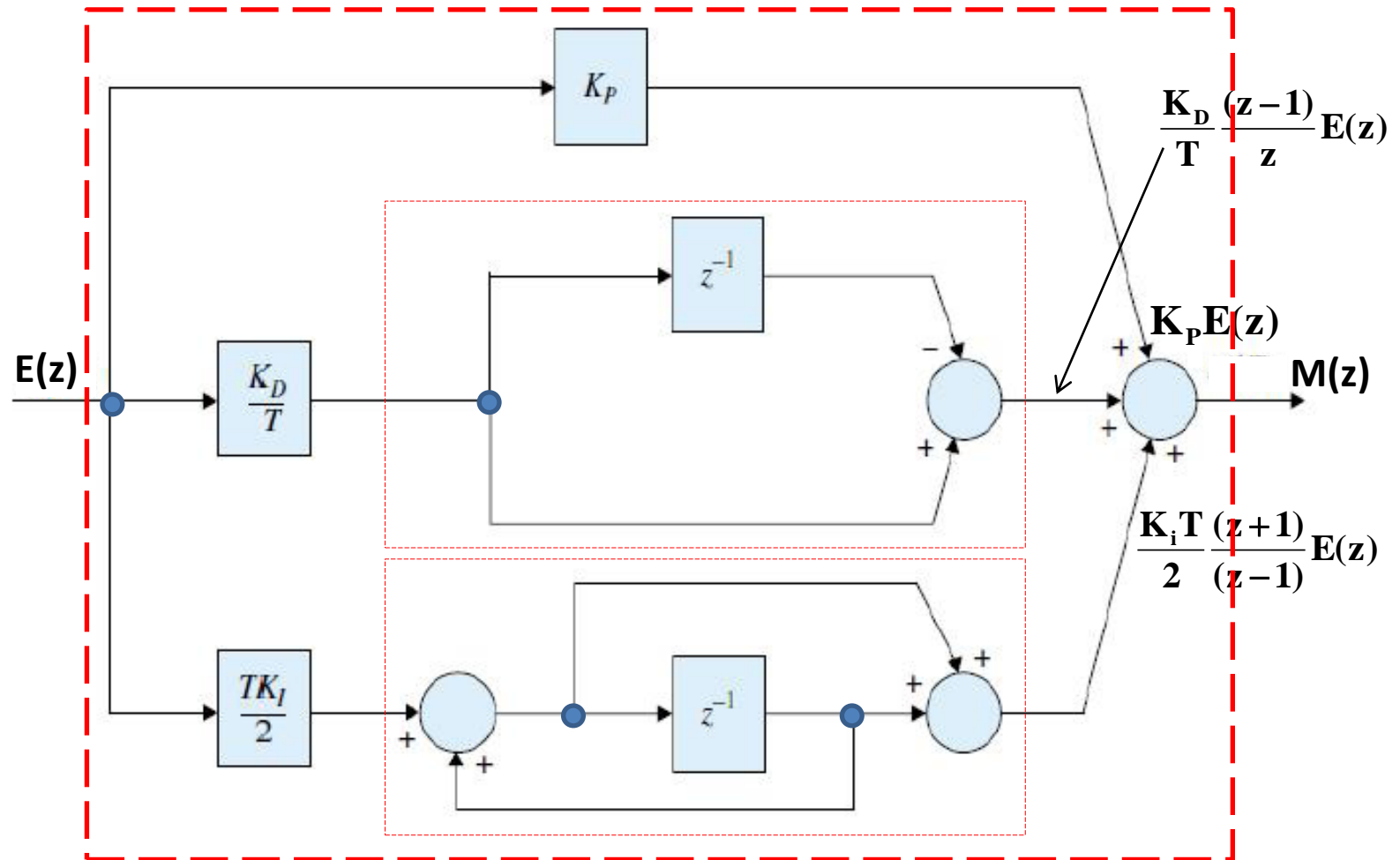
O Diagrama de Blocos a seguir é aplicado para a implementação de um Controlador **PID** discreto usando integração **trapezoidal (mais precisa!)**.



O operador  $z^{-1}$  é interpretado como um atraso de **T segundos**. Na prática este atraso é implementado pelo armazenamento sucessivo de valores calculados e posteriormente utilizados quando a equação demandar.

## 24.1.7. Diagrama de Blocos de Controlador PID

Determinação da FT do PID pelo Diagrama de Blocos com integração trapezoidal.



$$\frac{M(z)}{E(z)} = \left[ K_P + \frac{K_i T}{2} \frac{(z+1)}{(z-1)} + \frac{K_D}{T} \frac{(z-1)}{z} \right]$$

**Exercício 1:** Dados  $K_p = 5$ ,  $T_D = 0,8 \times 10^{-3} \text{ s}$ ,  $T_i = 3 \times 10^{-3} \text{ s}$  e  $T = 116,4 \times 10^{-6} \text{ s}$ , utilizando integração **trapezoidal**, construa o **Diagrama de Blocos** para o controlador **PID** com estes parâmetros de sintonia.

